

### III-19 砂の三軸圧縮試験における一般的な変形定数

東北大工学部 (正) 河上房義  
 東北大大学院 (学) ○諸戸靖史  
 東北大工学部 (正) 須藤良清

#### 1. はじめに

現場における載荷試験あるいは室内における繰返し圧縮試験等から知られるように、砂に荷重が作用すると不可逆的な変形と可逆的な変形とが生ずる。そこで Holbec<sup>(1)</sup> 等が行っていいるように三軸圧縮試験機を用いて各種の応力経路を持つ繰返し操作を行い、両者の変形を区別した。ここでは可逆的な変形についてのみ調べたことを報告する。

#### 2. 実験の概要

三軸円筒形供試体圧縮試験機を用い、軸方向と横方向の加圧操作は別々に手動で行った。体積変化は間隙水の出入りをピューレット ( $1/100\text{cc}$ ) で読み、軸方向変位は載荷ピストンの変位をダイアルゲージ ( $1/1000\text{mm}$ ) で読み取った。体積変化は膜補正を行っている。

試料として用いた砂は仙台近郊名取川産のもので、粒径 ( $D_{10}=0.28$ ,  $D_{60}=0.53$ )、均等係数  $C_u=1.89$  2次元的アンギュラリティー 453 であり、ここに報告させていいるのは初期間隙比  $e_0=0.74$  のものでゆるい状態にある。

供試体は直徑 5cm、高さ 12cm の円筒形をしており、三層に分けて均等に形成され、間隙水は脱気水で飽和させている。

試験に用いた応力経路を図-1 に示す。等方圧縮、異方圧縮試験、及び平均主応力一定試験、側圧一定試験であり、後者の 2 つははじめ等方圧縮で所定の応力状態まで上げたのちに行った。ここでは側圧一定試験の結果は省略した。

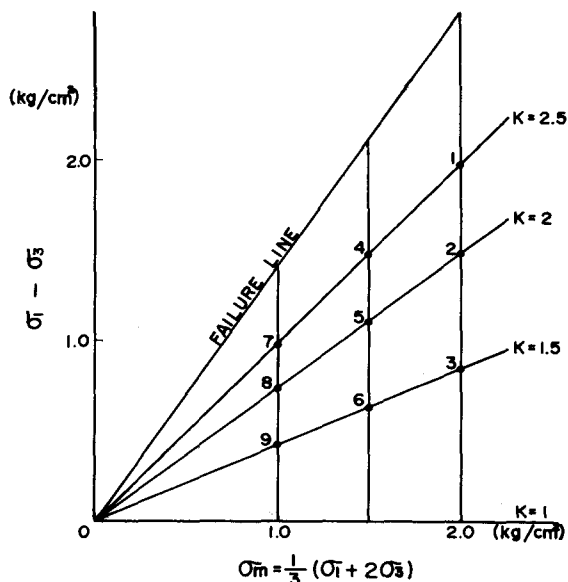
#### 3. 実験の結果

各繰返し操作の過程において応力度変形曲線は可逆的ヒステリシスループを描くようになる。この場合のループの中心線に対応するヒズミを可逆的ヒズミ ( $\varepsilon'_{ij}$ )、外れ応力変形曲線に対応するヒズミを全ヒズミ ( $\varepsilon_{ij}$ ) とする。  
 $\varepsilon_{ij} - \varepsilon'_{ij}$  を不可逆的ヒズミ ( $\varepsilon''_{ij}$ ) とする。

$$\varepsilon_{ij} = \varepsilon'_{ij} + \varepsilon''_{ij} \quad \dots \dots \dots (1)$$

各応力点における可逆的なひずみ量を表-1 に示す

図-1 試験に用いた応力経路



$\varepsilon_1^r$ : 可逆的な軸ひずみ

$\nu^r$ : 可逆的な体積ひずみ

表-1 中の諸数値は可逆的な変形の応力経路に無関係であることを示すものと考えらる。そこで軸方向と横方向のひずみ増分  $d\varepsilon_1^r$  と  $d\varepsilon_3^r$  を異方性を考慮した変形定数  $E_1$ ,  $E_3$ ,  $\nu_1$ ,  $\nu_3$  を用いて軸方向と横方向の応力増分  $d\sigma_1$ ,  $d\sigma_3$  で次のようく表わす。

$$\left. \begin{aligned} d\varepsilon_1^r &= \frac{1}{E_1} (d\sigma_1 - 2\nu_3 d\sigma_3) \\ d\varepsilon_3^r &= \frac{1}{E_3} ((1-\nu_3) d\sigma_3 - \nu_1 d\sigma_1) \end{aligned} \right\} \quad \text{---(2)}$$

(2)式は平均主応力が一定の場合

$$\left. \begin{aligned} d\varepsilon_1 &= \frac{1}{E_1} (1 + \nu_3) d\sigma_1 \\ d\varepsilon_3 &= \frac{1}{E_3} (1 - \nu_3 + 2\nu_1) d\sigma_3 \end{aligned} \right\} \quad \text{---(3)}$$

応力比一定の場合

$$\left. \begin{aligned} d\varepsilon_1 &= \frac{1}{E_1} (K - 2\nu_3) d\sigma_3 \\ d\varepsilon_3 &= \frac{1}{E_3} (1 - \nu_3 - K\nu_1) d\sigma_3 \\ K &= \frac{d\sigma_1}{d\sigma_3} \end{aligned} \right\} \quad \text{---(4)}$$

図-2 は各応力点におけるそれらの定数の値を示す

4. あとがき

砂のくり返し三軸圧縮試験における可逆的な変形部分は応力経路に關係がなく、その変形特性を表わす4つの変形定数は異った載荷経路を有する試験結果から算出することが可能である。図-2による異方性は応力比  $K(\nu_1/\nu_3)$  が大なるにつれて卓越することが明らかであり、応力比による砂の変形の異方性の評価が重要となってくる。現在、砂の排水状態における可逆的な変形特性の数式化を試みている。

#### 参考文献

- Halubec, I. "Elastic Behavior of Cohesionless Soil", Journal of the Soil Mechanics and Foundations Division.

ASCE, SM6, 1968, PP1215~1230

表-1 各応力点における  $\varepsilon_1^r$  と  $\nu^r$

応力点	$\varepsilon_1^r$ (%)	$\nu^r$ (%)	$C_m = \text{一定}$	$K = \text{一定}$	$C_m = \text{一定}$	$K = \text{一定}$
1	0.21		0.20	0.37	0.41	
2	0.20		0.18	0.42	0.43	
3	0.16		0.15	0.43	0.44	
4	0.17		0.17	0.30	0.31	
5	0.16		0.14	0.34	0.36	
6	0.13		0.12	0.35	0.37	
7	0.13		0.13	0.25	0.24	
8	0.12		0.11	0.26	0.28	
9	0.10		0.09	0.27	0.30	

(3)と(4)を組み合わせることにより、4つの定数  $E_1$ ,  $E_3$ ,  $\nu_1$ ,  $\nu_3$  を求めることが出来る。

図-2 各応力点における変形定数の値

